

크로스 롤러 가이드 이형인발공정 패스 스케줄

Pass Schedule of Shape Drawing Process for Cross Roller Guide

*이태규¹, 이찬주¹, 김성민¹, 이상곤², #김병민²*T. K. Lee¹, C. J. Lee¹, S. M. Kim¹, S. K. Lee², #B. M. Kim³ (bmkim@pusan.ac.kr)¹ 부산대학교 대학원 정밀기계공학과, ²부산대-IFAM 국제공동연구소, ³부산대학교 기계공학부

Key words : Multi-Pass Shape Drawing, Pass Schedule, Equal Reduction, Equal Load, Electric Field Analysis

1. 서론

인발가공은 일정한 단면을 가지면서 길이가 긴 제품을 생산하는 대표적인 소성가공 공정 중의 하나이다.¹ 축대칭 인발공정과 달리 복잡한 단면형상을 가진 이형인발공정에서는 단면감소율, 인발하중, 생산효율 등을 고려하여 일반적으로 3 패스 이내의 다단으로 행해진다. 이형인발공정에서는 단면형상이 복잡하기 때문에 적절한 중간형상과 패스별 단면감소율을 설정하는 것이 중요하다. 그러나 실제 현장에서는 반복적인 시행착오와 경험에 의해 설계가 이루어지고 있는 실정이다.

본 연구에서는 이형인발공정의 단면감소율 및 중간다이 단면형상 설정방법을 제안하였다. 등단면감소율과 등하중 이론을 적용하여 단면감소율을 설정하고, 전기장해석을 통한 등전위선을 이용하여 중간다이 단면형상을 설계하였다. 제안된 방법에 대하여 Fig. 1 과 같이 2 패스 인발공정으로 생산되는 크로스 롤러 가이드를 이형인발공정에 적용하였으며, 성형해석과 이형인발실험을 통하여 본 연구에서 제시한 패스 스케줄 방법에 대해 그 타당성을 검증하였다.

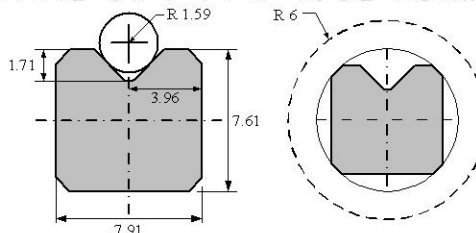


Fig. 1 Initial and final sectional shape of cross roller guide

2. 단면감소율 설정

다단 이형인발공정 시 각 패스의 단면감소율 설정이 중요하다. 현재까지 다단 이형인발공정의 경우 현장경험에 의존하며 체계적인 기준이 마련되어있지 않다. 본 연구에서는 등단면 감소율과 등하중이론을 적용하여 단면감소율 설정방법을 제안하였다.

2.1 등단면 감소율 설정

등단면 감소율에서는 모든 패스의 단면감소율을 일정하게 설정한다. 패스 수가 n 인 다단 인발공정 시 등단면감소율의 평균 감소율은 식(1)로 계산되면 계산된 평균 감소율을 이용한 각 패스의 단면적은 식(2)와 같이 계산된다.²

$$r_{ave} = 100 \cdot \left\{ 1 - \left(\frac{A_f}{A_0} \right)^{1/n} \right\} [\%] \quad (1)$$

$$A_i = \left(1 - \frac{r}{100} \right) \cdot A_{i-1} [\text{mm}^2] \quad (2)$$

여기서, r_{ave} 는 평균 단면감소율, A_0 는 초기단면적, A_f 는 최종 단면적, n 은 총 패스 수 i 는 패스번호이다.

Fig. 1의 크로스 롤러 가이드의 경우 평균 단면감소율은 29.88%이고, 첫 번째 패스의 단면적은 79.29mm²이다.

2.2 등하중 단면감소율 설정

본 연구에서는 각 패스의 인발하중이 일정한 등하중이론을 적용한 단면감소율 설정방법도 제안하였다.³ 먼저 등하중 이론을 적용하기 위해 적용 가능한 단면감소율 범위를 설정하였다. 적용형상의 경우 중간패스 단면감소율이 15%이하인 경우 중간형상이 초기소재보다 크고, 35% 이상인 경우 최종형상보다 작아져 인발이 불가능하다. 따라서, 단면감소율 범위를 20~30%로 설정하였다.

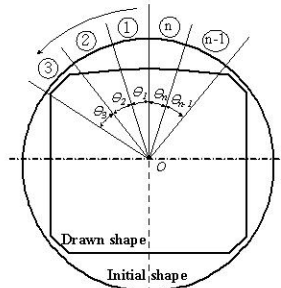


Fig. 2 Cross section method for drawing load

본 연구에서는 하중이 같아지는 단면감소율을 예측하기 위하여 Lee 등이 제안한 단면요소분할법을 적용하였다.³ 단면요소분할법이란 Fig. 2에서 보듯이 단면을 유한개의 요소로 나누어 각 요소에 대하여 축대칭 하중예측모델을 적용함으로써 이형인발하중을 간단히 예측할 수 있는 방법이다.

A. Geleji 가 제안한 식을 응용한 분한 요소 i 의 인발하중은 다음의 식(3)으로 계산된다.

$$Z_i = k_{m,i}(F_i + Q_i \cdot \mu_i) + 0.77 \cdot k_{fm} \cdot f_{2,i} \cdot \alpha_i \quad (3)$$

여기서 Z_i 는 인발하중, $k_{m,i}$ 는 재료의 평균변형저항, k_{fm} 은 재료의 평균변형강도, F_i 는 다이 입구부와 출구부의 단면적 차이, Q_i 는 소재와 다이 접촉면길이, μ_i 는 다이와 소재 사이의 마찰계수, $f_{2,i}$ 는 다이출구부 단면적, α_i 는 다이반각이다.

초기, 중간, 최종형상에 대해 단면요소분할법을 이용한 결과 중간형상 단면감소율이 27%인 경우 1, 2 패스의 인발하중은 각각 3.05ton, 3.09ton 으로 유사하였다. 또한, 단면감소율이 27%인 경우의 중간패스 단면적은 82.55mm²이다.

3. 중간패스 단면형상 설계

각 패스별 단면감소율이 설정되면, 중간패스 단면형상이 설계되어야 한다. 본 연구에서는 Shin 등이 제안한 등전이론을 이용하여 중간패스 단면형상을 설계하였다.⁴ 전기장해석 시 두 도체 사이에 전압이 서로 겹치거나 중복되지 않는 등전위면이 형성된다. 본 연구에서는 중간형상을 결정하기 위해 범용 유한요소해석 S/W인 ANSYS Ver.10 을

이용하여 2 차원 전기장 해석을 수행하였다. Fig. 4는 초기 형상과 최종형상에 각각 10V 와 0V 를 걸어 해석한 후 1~4V 의 형상을 나타낸 것이다.

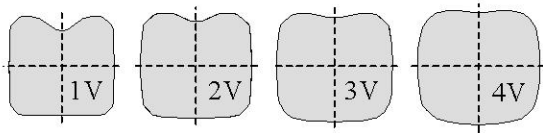


Fig. 4 Shapes from electric field analysis

4 가지 형상의 단면형상들에 대하여 등단면감소율 및 등하중 단면감소율을 갖도록 식(4)로 계산되는 스케일계수를 이용하여 각 단면들을 확대/축소 하였다.

$$SF_i = \sqrt{A_t / A_i} \quad (4)$$

여기서, A_t 는 등단면감소율 및 등하중 단면감소율 적용 시 요구되는 중간패스 단면적, A_i 는 Fig. 4의 단면들의 면적이 다. 확대/축소된 형상에 대해 최적의 중간단면형상은 유한 요소해석으로 결정하였다.

4. 이형인발공정 성형해석

등단면감소율과 등하중감소율 및 전기장 해석을 이용해 확보된 다양한 단면형상들에 대하여 Fig. 5 와 같이 성형해석을 수행하여 가장 우수한 중간패스 단면형상을 결정하였다. 또한, 본 연구에서 제시한 두 가지 설계방법의 타당성을 검증하기 위해 현장 작업자의 노하우로 설계된 공정에 대한 해석도 함께 수행하여 그 결과를 비교하였다.

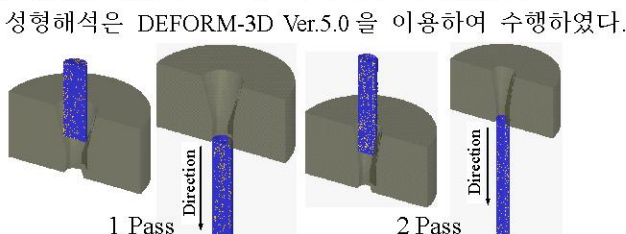


Fig. 5 FE-analysis of the shape drawing process

Table 1 Condition of shape drawing

Condition	Value
Diameter(mm)	12.0
Bearing length(mm)	8.0
Friction factor(m)	0.1
Material	AISI1020
Velocity(mm/sec)	200.0

다이각도는 모든 공정에 있어 1 패스는 15° , 2 패스는 8° 로 설정하였다. Table 1에 이상의 조건을 나타내었다. 총 단면감소율은 50.84%이며, 첫 번째 및 두 번째 패스의 단면감소율은 등단면감소율의 경우 모두 29.88%이며, 등하중 감소율의 경우 각각 27%, 32.64%이다. 그리고 현장 적용공정의 경우 각각 24.58%, 34.81 이다. 성형해석결과로부터 최종제품의 단면 치수정도가 가장우수한 형상을 중간패스 형상으로 설정 하였다. 단면 치수 정도는 식(6)과 같이 미충만율(Unfilled Rate)로 평가하였다.

$$UR = (1 - A_{analysis} / A_{final}) \cdot 100 \% \quad (6)$$

그 결과 2V 의 단면형상이 치수정도가 가장 우수함을

알 수 있다. 따라서, 본 연구에서는 2V 의 단면 형상을 중간패스로 설정하였다.

5. 이형인발 실험 및 고찰

제시한 등단면감소율과 등하중감소율을 이용한 중간패스 설계방법에 대한 타당성을 검증하기 위해 이형인발실험을 수행하였다. 실험은 MTS(25ton)을 이용하였으며, 다이와 치구를 제작하여 성형해석 조건과 동일하게 수행하였다.

최종 인발된 제품에 대해서 3 차원 투영기로 단면적을 측정한 후 미충만율을 계산하였다. Table 2에 각 경우에 대한 패스별 단면적과 미충만율을 나타내었다.

Table 2 Comparison of section area between drawing and experiment

	Die area[mm ²]	Experiment area[mm ²]	UR[%]
	1pass	2pass	
Equal-reduction	79.29	79.186	0.131
Equal-load	82.55	82.312	0.288
Industrial design	85.29	84.996	0.344
Equal-reduction	55.60	54.417	2.157
Equal-load	55.60	54.276	2.381
Industrial-design	55.60	54.189	2.573

최종제품에 대한 미충만율은 등단면감소율을 적용한 설계방법이 가장 좋았으며, 다음으로 등하중감소율, 현장 노하우 순이였다. 따라서, 본 연구에서 제시한 설계방법을 적용할 경우 현재 적용되고 있는 공정보다 최종제품의 치수정도가 보다 우수함을 알 수 있다.

6. 결론

본 연구에서는 다단 이형공정에 대한 각 패스의 단면감소율을 일정하게 유지하는 등단면 감소율, 각 패스의 인발하중을 균일하게 하는 등하중 감소율을 적용하여 단면감소율을 설정하였다. 전기장 해석을 통하여 추출된 형상들에 대해 두 가지 방법의 단면감소율로 확대/축소하였여, 성형해석을 통해 가장 우수한 형상(2V)을 설정하였다. 또한, 이형인발 실험을 통해 선정된 형상에 대한 타당성을 검증하였다. 시험결과 성형해석 결과와 동일하게 본 연구에서 제시한 방법을 적용할 경우 최종제품의 치수정도가 형상됨을 알 수 있었다.

후기

본 연구는 교육과학기술부와 한국산업기술진흥원의 지역혁신인력양성사업으로 수행된 연구결과임.

참고문헌

- K. Lange, Handbook of Metal Forming, McGraw-Hill Company, 1985.
- JSTP, Drawing Process, Korona, 1990.
- T.K. Lee, C.J. Lee, S.K. Lee, B.M. Kim, 2009, Prediction of drawing load in the shape drawing process, Trans. Mater. Process., Vol. 18, No. 4, pp.323~328
- H. K. Shin, S. R. Lee, C. H. Park, D. Y. Yang, 2002, The optimal design of preform in 3-D forging by using electric field theory, Trans. Mater. Process., Vol. 11, No. 2, pp. 165~170